

C/P比与磷回收对生物营养物去除系统影响的试验研究

郝晓地, 戴吉, 胡沅胜, 曹亚莉

(北京建筑工程学院可持续环境生物技术研发中心, 北京 100044)

摘要:以生物营养物去除系统——BCFS工艺为基础, 考察了不同C/P(COD/P)和厌氧上清液侧流比对系统处理效果的影响。结果表明, 当碳源充足时, TP去除率稳定在87%左右, 能够保证较低的出水TP($\leq 0.8 \text{ mg}\cdot\text{L}^{-1}$)。当进水COD/P降低到24以下时, TP去除率迅速降至62%, 出水TP升至 $5 \text{ mg}\cdot\text{L}^{-1}$ 以上。在此进水水质下, 以厌氧池上清液侧流方式辅以化学磷回收; 当侧流比增加至30%时, 出水TP浓度降低至 $1 \text{ mg}\cdot\text{L}^{-1}$ 以下; 相应的磷回收量为进水TP负荷的54%。因此, 化学磷回收具有辅助生物除磷的双重作用。

关键词: BCFS工艺; COD/P; 侧流比; 厌氧上清液; 化学磷回收; 聚磷菌(PAOs、DPB)

中图分类号: X703.1 文献标识码: A 文章编号: 0250-3301(2008)11-3098-06

Experimental Study on the Effect of COD/P Ratios and Phosphate Recovery on a BNR System

HAO Xiao-di, DAI Ji, HU Yuan-sheng, CAO Ya-li

(The R & D Centre for Sustainable Environmental Biotechnology, Beijing University of Civil Engineering and Architecture, Beijing 100044, China)

Abstract: Based on a BNR system — BCFS, the effect of COD/P and phosphate recovery on the BCFS process was experimentally investigated. The results indicate that a higher P-removal efficiency (87%) and a good P-effluent quality ($\leq 0.8 \text{ mg}\cdot\text{L}^{-1}$) could be maintained at COD/P ratios higher than 24. When COD/P was reduced below 24, the P-removal efficiency was suddenly decreased down to 62% and the P-effluent went up to $5 \text{ mg}\cdot\text{L}^{-1}$. Under the circumstance, chemical phosphate recovery in the side-stream of anaerobic supernatant was combined with bio-P removal. When the side-stream increased up to 30%, the P-effluent went back to $< 1 \text{ mg}\cdot\text{L}^{-1}$, with a corresponding phosphate recovery efficiency of 54%.

Key words: BCFS system; COD/P ratio; side-stream ratio; anaerobic supernatant; chemical phosphate recovery; PAOs, DPB

污水中所含的N、P元素是导致江河、湖泊等水体富营养化的直接诱因^[1,2], 特别是P的含量对引起水体富营养化极其敏感, 一般认为当地面水体中总磷(TP)含量达到 $0.015 \text{ mg}\cdot\text{L}^{-1}$ 时就足以导致水体富营养化。为尽可能控制污水中进入水体内的P含量, 我国现行的污水排放标准对总磷(TP)作出了更加严格的规定^[3]。污水除磷的工艺方法多种多样^[4~6], 大体可分为化学沉淀方法和生物除磷方法, 其中城市生活污水以强化生物除磷工艺为主。在实际工程中, 污水生物除磷普遍面临碳源(COD)不足的问题, 导致强化生物除磷功能不能充分发挥, 出水磷指标达不到出水标准。另一方面, 磷是十分宝贵而非常有限的自然资源。地壳中优质磷矿石($P_2O_5 > 15\%$)以目前开采速度计算, 将在100 a之内耗至殆尽^[7]; 中国磷矿产资源将在不到70 a的时间内耗竭^[8]。

在此情况下, 污水除磷的中变单纯的“处理”为有意识的“回收”已受到各国专家的普遍关注。如果

在污水生物处理系统中辅以化学磷沉淀, 则既能从中回收一部分磷, 又能相对提高污水生物除磷的C/P, 进而提高生物除磷效果。这一思想首先从理论上得到了验证^[9,10], 在污水处理工艺流程上回收磷的最佳位置也得到了试验确认^[11~13]。基于这些认识, 荷兰代尔夫特理工大学研发出一种变型的UCT工艺——BCFS, 旨在保证出水水质前提下最大限度地实现资源(P)回收、减少化学药剂消耗、减少剩余污泥产量和能源消耗, 并已在10座升级或新建的污水处理厂中得到实际应用^[14, 15]。磷回收的潜力及其对生物除磷的促进作用已得到深入研究^[16]。目前的焦点在于磷回收与脱氮除磷各生物过程的相互影

收稿日期: 2007-12-22; 修订日期: 2008-02-25

基金项目: 国家高技术研究发展计划(863)项目(2006AA06Z320); 北京市属市管高等学校人才强教计划项目(BJE10016200611); 北京市自然科学基金项目(8063028)

作者简介: 郝晓地(1960~), 男, 博士, 教授, 主要研究方向为污水生物脱氮除磷技术、污水处理数学模拟技术和可持续环境生物技术, E-mail: haoxiaodi@bucea.edu.cn

响:磷回收与厌氧释、好氧吸磷的动态过程密切相关;磷是生物生长的限制性因素,磷的过量回收也可能造成对生物过程的抑制作用。这些相互作用已通过数学模型进行了评估^[17]。

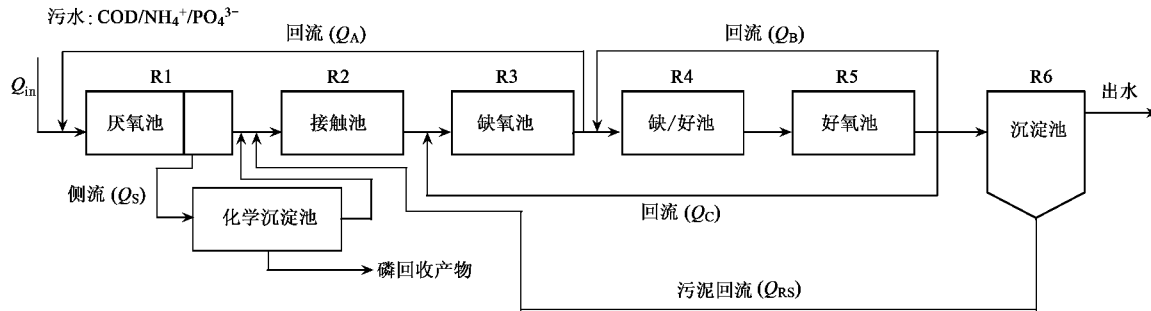
本研究在实验室 BCFS 工艺动态试验基础上,通过改变进水 C/P(COD/TP),考察不同 C/P 对出水水质的影响。在 C 源缺乏,生物除磷功能受到限制的情况下,通过引出厌氧池上清液(侧流)进行磷回收,进一步验证磷回收对生物除磷的促进作用,重点考察不同侧流比对 BCFS 系统生物营养物去除过程

的影响,并确定最佳侧流比与磷回收量。

1 材料与方法

1.1 装置

试验 BCFS 工艺装置处理水量为 $0.42 \text{ m}^3 \cdot \text{d}^{-1}$,工艺流程及运行参数如图 1 所示。厌氧池内部以一底部相通的隔板形成相对静止的沉淀区,用于分离厌氧上清液。当辅以化学磷回收时,加入一个厌氧上清液回流(Q_s),将经过侧流化学沉淀后的厌氧上清液回流至接触池。



$$Q_{in} = 20 \text{ L/h} \quad Q_A = 40 \text{ L/h} \quad Q_B = 0 \text{ L/h} \quad Q_C = 48 \text{ L/h} \quad Q_{RS} = 20 \text{ L/h} \quad Q_s = (0 \sim 0.5) Q_{in}$$

$$R1 = 40 \text{ L} \quad R2 = 6 \text{ L} \quad R3 = 40 \text{ L} \quad R4 = 120 \text{ L} \quad R5 = 120 \text{ L} \quad R6 = 60 \text{ L}$$

图 1 实验室 BCFS 工艺流程

Fig. 1 Schematic representation of a lab-scale BCFS process

1.2 试验方法及数据采集

试验进水采用模拟城市生活污水的人工配水,配水成分见表 1。

表 1 配水成分表/ $\text{mg} \cdot \text{L}^{-1}$

Table 1 Components of influent wastewater/ $\text{mg} \cdot \text{L}^{-1}$

项目	药剂	浓度	投加量
COD	牛肉蛋白胨	150	118.41
	牛肉浸膏	450	67.66
	葡萄糖($\text{C}_6\text{H}_{12}\text{O}_6 \cdot \text{H}_2\text{O}$)	270	435.99
		170	261.60
			164.71
TP	磷酸二氢钾(KH_2PO_4)	8	35.12
		15	65.85
TN	氯化铵 NH_4Cl	20.41	78
	牛肉蛋白胨	15.39	118.41
	牛肉浸膏	8.80	67.66
K	KCl	10.37	19.83
微量元素	EDTA	3.0	
	$\text{FeCl}_3 \cdot 6\text{H}_2\text{O}$	0.45	
	H_3BO_3	0.05	
	$\text{CuSO}_4 \cdot 5\text{H}_2\text{O}$	0.01	
	KI	0.05	
	$\text{MnCl}_2 \cdot 4\text{H}_2\text{O}$	0.04	
	$\text{Na}_2\text{MoO}_4 \cdot 2\text{H}_2\text{O}$	0.02	
	$\text{ZnSO}_4 \cdot 7\text{H}_2\text{O}$	0.04	
	$\text{CoCl}_2 \cdot 6\text{H}_2\text{O}$	0.05	

试验过程中通过改变进水 COD 和 TP 调整 COD/TP, 考察不同 COD/P 条件下系统运行情况。首先保持进水 TP 不变(约 $8 \text{ mg} \cdot \text{L}^{-1}$), 以 $600 \text{ mg} \cdot \text{L}^{-1}$ 为初始值, 依次降低进水 COD 浓度, 直至 COD 低至 $320 \text{ mg} \cdot \text{L}^{-1}$ 。随后, 保持 COD 不变, 通过提高进水 TP 的方法来降低进水 COD/P。进行化学磷回收时, 将厌氧上清液引至化学沉淀池, 调节 pH 值至 10 后反应、沉淀 30 min。

每个工况下系统运行约 15 d 出水水质达到稳定, 取样分析步骤随即进行。整个试验过程中, 对 COD、TP、TN、 NH_4^+ 、 NO_3^- 、VSS 和 SS 的测定按照文献 [18] 的方法进行, DO 使用 YSI1700 溶氧仪测定, OPR 采用 WTW 便携式 ORP 仪进行测定。

1.3 实验条件与环境

由于 BCFS 工艺为同步脱氮除磷工艺, 因此将污泥龄(SRT)控制在 15~20 d。通过每日排泥来控制 SRT, 排泥量为 $8 \sim 10 \text{ L} \cdot \text{d}^{-1}$ (分 2 次进行)。主体反应器污泥浓度维持在 $3800 \sim 4500 \text{ mg} \cdot \text{L}^{-1}$, 污泥负荷($\text{COD}/\text{MLSS} \cdot t$)相应为 $0.2 \sim 0.6 \text{ g} \cdot (\text{g} \cdot \text{d})^{-1}$; 整个试验过程中 SVI 值保持在 $100 \sim 130 \text{ mL} \cdot \text{g}^{-1}$ 。

厌氧池 ORP 维持在 $-270 \sim 300 \text{ mV}$ 。缺/好池 DO

在 $0.5 \text{ mg}\cdot\text{L}^{-1}$ 左右。好氧池曝气量随温度变化进行相应调整, DO 维持在 $2 \sim 4 \text{ mg}\cdot\text{L}^{-1}$ 。试验中共进行了 3 种侧流比条件对比试验: 10%、20% 和 30% (相对进水流量)。

2 结果与分析

2.1 进水 C/P 比对营养物去除的影响

图 2 显示了不同进水 COD/P (分别为 76.3、52.6、41.8、23.3) 对营养物去除效果的影响。

图 2(a)显示, 进水 COD/P 对 COD 去除率影响不大, 在 4 种工况下, 去除率均能达到 92% 以上, 最高可达 97%。出水 COD 均低于 $25 \text{ mg}\cdot\text{L}^{-1}$ 。随着进水 COD 浓度降低, 各反应器内溶解性 COD 随之下降; 溶解性 COD 去除主要发生在厌氧池内, 表观去除率为 70% ~ 90%。

图 2(a)还表明, 接触池内溶解性 COD 浓度明显较厌氧池要低。只有当进水 COD 浓度较高时, 接触池内溶解性 COD 浓度略高 ($70 \text{ mg}\cdot\text{L}^{-1}$) ; 而当进水 COD 浓度保持在正常城市污水 COD 浓度 ($\leq 400 \text{ mg}\cdot\text{L}^{-1}$) 范围时, 接触池内溶解性 COD 浓度均保持

在 $25 \text{ mg}\cdot\text{L}^{-1}$ 左右。这说明经过 17 min 短暂水力停留时间 (HRT), 接触池能够去除厌氧池残留的溶解性 COD, 有效防止残余 COD 进入好氧池 (COD 保持在 $20 \text{ mg}\cdot\text{L}^{-1}$ 左右) 诱发丝状菌繁殖而产生污泥膨胀。因此, 接触池起到了选择器的作用。

试验 BCFS 工艺装置处理水量为 $0.42 \text{ m}^3\cdot\text{d}^{-1}$, 工艺流程及运行参数如图 1 所示。厌氧池内部以一底部相通的隔板形成相对静止的沉淀区, 用于分离厌氧上清液。当辅以化学磷回收时, 加入一个厌氧上清液回流 (Q_s), 将经过侧流化学沉淀后的厌氧上清液回流至接触池。

图 2(c)显示, 进水 COD/P 对 TN 的去除率影响也不大, 在 4 种工况下, 去除率均能达到 85% 以上。出水 TN 均低于 $8 \text{ mg}\cdot\text{L}^{-1}$ 。

图 2(d)显示, 当碳源充足 (COD/P 为 76.3、52.6 和 41.8) 时, TP 去除率基本保持不变, 维持在 87% 左右。当进水 COD/P 降至 23.3 时, 由于 C 源不足导致 TP 去除率及出水水质明显下降, 去除率降至 62%, 平均出水 TP 上升至 $5.4 \text{ mg}\cdot\text{L}^{-1}$ 。

2.2 侧流比对系统营养物去除效果的影响

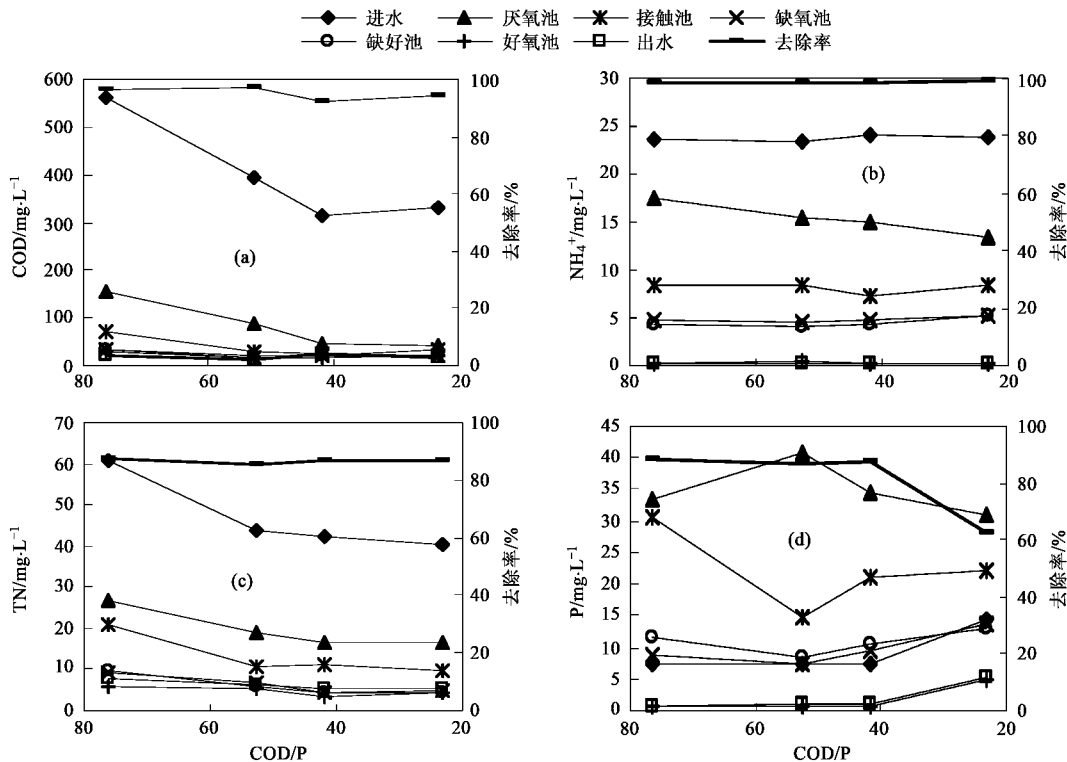


图 2 进水 COD/P 对系统中营养物去除效果的影响

Fig. 2 Effect of influent COD/P ratio on nutrient removal

进水 COD/P 降至 23.3 后出水 TP 出现恶化, 表明进水中的 COD 含量已不足以满足生物处理的需

要。此时, 实施厌氧上清液磷回收试验, 以验证磷回收对后续生物除磷的辅助作用。图 3 反映不同厌氧

上清液侧流比(0%、10%、20%、30%)对系统内营养物去除效果的影响。整个试验过程中,系统各项进水负荷保持不变($\text{COD}/\text{P} = 23.3$),只改变厌氧上清液抽取比例(侧流比),考察不同侧流比条件下系统中营养物去除效果的差异,尤其是生物除磷效果的变化趋势。

图3(a)显示,当进水COD保持不变时,各反应器中溶解性COD浓度也大致相同,COD总去除率稳定在95%左右(出水COD浓度最高为 $22 \text{ mg}\cdot\text{L}^{-1}$)。这说明系统内各反应器中COD降解和总去除率不受厌氧侧流比影响。

图3(b)显示,侧流比对 NH_4^+ 的去除率影响也

不是很大,在4种工况下,去除率均接近100%,且各反应器内的 NH_4^+ 浓度基本保持稳定。出水 NH_4^+ 接近 $0 \text{ mg}\cdot\text{L}^{-1}$ (最高时为 $0.3 \text{ mg}\cdot\text{L}^{-1}$)。

图3(c)显示,随侧流比增大TN的去除率逐渐降低。与此对应,好氧池和出水中的 NO_3^- 随侧流比的增加而有递增趋势(图4)。可见,TN去除率降低主要是由于 NO_3^- 去除率降低所致。

图3(d)显示,随侧流比升高,TP的去除率呈线性上升趋势,出水中 PO_4^{3-} 浓度逐渐下降,厌氧池上清液中 PO_4^{3-} 的浓度也逐渐下降。当侧流比为30%时,平均出水TP浓度 $< 1 \text{ mg}\cdot\text{L}^{-1}$,这种现象与理论

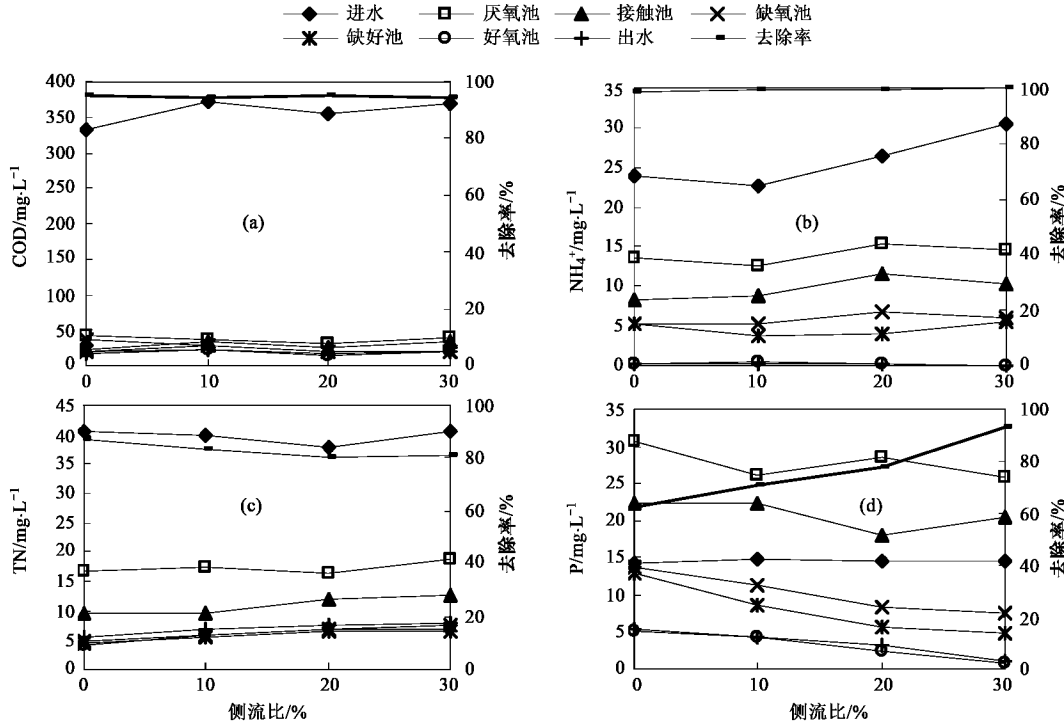


图3 侧流比对系统中营养物去除效果的影响

Fig. 3 Effect of side-stream ratio on nutrient removal

分析非常吻合。

3 讨论

3.1 进水 COD/P 与 COD 组分对 TP 去除的影响

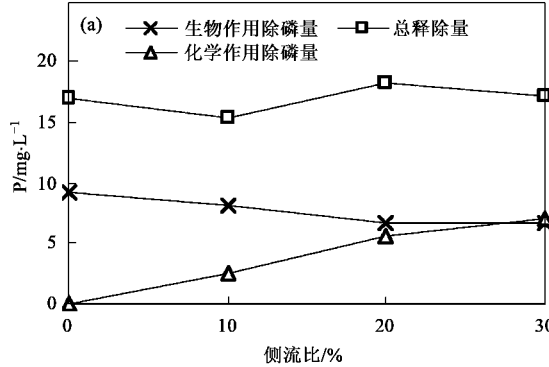
试验结果表明,进水COD/P降至23.3时C源呈现不足,生物除磷作用恶化,平均出水TP上升至 $5.4 \text{ mg}\cdot\text{L}^{-1}$,TP去除率突降至62%。而Hao等^[16]的模拟结果显示,COD/P为20时,出水TP仍可 $\leq 1 \text{ mg}\cdot\text{L}^{-1}$ 。这一差别主要与COD组分相关,进水VFA含量对生物除磷过程具有关键影响。模拟中COD/P

为20时,进水VFA含量为 70 mg/L ^[16];而本试验采用人工配水中不含VFA,生物除磷所需的VFA全部依靠厌氧区水解发酵产生。因此,试验中造成出水水质恶化的进水COD/P相对高于模拟情况。图2(d)也显示,当进水COD/P最高时,厌氧池中 PO_4^{3-} 浓度并非最高,这可能与聚糖元菌(GAOs)在高COD/P(> 50)比下对碳源的竞争有关^[20]。

3.2 侧流比对生物除磷作用的影响

随着侧流比的升高,厌氧池内溶解性 PO_4^{3-} 浓度首先呈缓慢下降趋势,至30%左右加速下降[图3

(d)], 这与 Barat 等^[17]的模拟评价结论(30%~40%, 与污泥负荷有关)接近。这是由于 PAOs/DPB 厌氧释磷和缺氧或好氧吸磷是一对相辅相成的动态过程。通过化学沉淀去除的 PO_4^{3-} 越多, 好氧条件下形成的胞内 Poly-P 量就越少, 从而厌氧环境下释放的



PO_4^{3-} 就越少, 也即化学除磷比重增高必然减弱生物除磷强度。这在图 4 中得到验证, 随着侧流比增加, 在化学作用下去除的 TP 量和去除率持续增加, 而由生物作用所去除的 TP 量和去除率则呈下降趋势。

这一规律首先对确定最佳侧流比和最大回收率

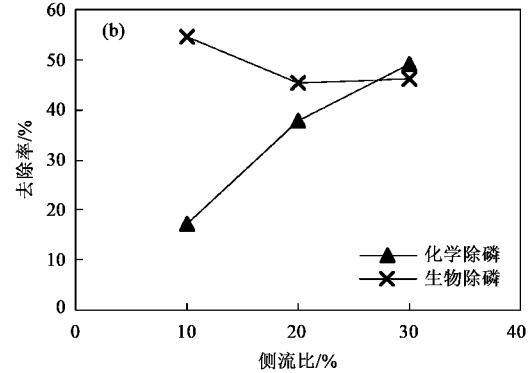


图 4 生物释磷、吸磷量及化学除磷量

Fig.4 Bio-P release and uptake, and chemical-P removal

具有指导意义。受溶度积规则限制, 化学除磷在高浓度时效果较好, 浓度越低所需投加的化学药剂量就越大, 否则就会大大延长沉淀反应时间。因此, 最佳侧流比即为厌氧池 PO_4^{3-} 浓度开始加速下降的转折点, 此时对应得回收率即为最大回收率。本研究通过化学除磷作用可最多回收进水负荷中 54% 的 TP(侧流比为 30%), 同时使系统出水中 TP 浓度降至 $1 \text{ mg} \cdot \text{L}^{-1}$ 以下, 具有实现资源回收和促进生物除磷效果的双重作用。

化学除磷比率提高, 生物除磷比率降低对实际运行也具有重要意义。因为在生物除磷功能正常的情况下, 出水 TP 主要体现在生物体所含的 P 量上, PO_4^{3-} 对出水 TP 的贡献很小。通过磷回收降低生物体的含磷量就能显著降低出水 TP, 这在出水 SS 较高的情况下尤为显著。

3.3 侧流比对硝化与反硝化作用的影响

Barat 等^[17]的模拟评价表明, 出水 NH_4^+ 浓度随侧流比的增加而上升, 侧流比达到一定值时(约 40%, 与污泥负荷相关) NH_4^+ 浓度显著增大, 并分析认为由于磷回收造成好氧区 PO_4^{3-} 浓度过低而成为自养菌生长的限制因素。但本研究中侧流比对 NH_4^+ 的去除基本没有影响[图 3(b)]。这可能有两方面的原因: 一是本例的侧流比最大为 30%, 尚未达到转折点; 二是 Barat 等的工艺模型中, 磷对自养菌生长的半饱和系数有待进一步调整, 因为模拟结果对这一参数极其敏感。

图 5 显示, 出水 NO_3^- 浓度随侧流比增大而上升, 这可能是由于进入缺氧池的 PO_4^{3-} 浓度降低造成反硝化除磷作用的减弱所导致。这一结论还有待进一步研究缺氧过程吸磷量的变化进行验证。

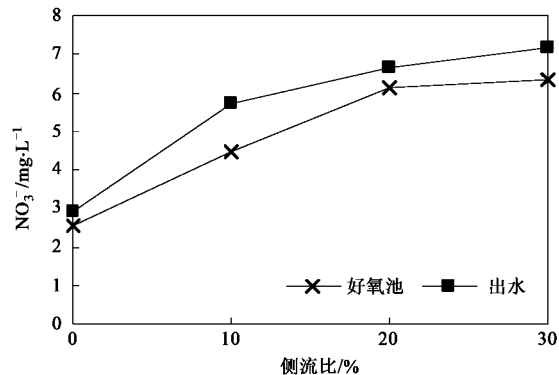


图 5 NO_3^- 浓度受侧流比的影响

Fig.5 Effect of side-stream ratio on nitrate concentration

4 结论

进水 COD/P 对 BCFS 系统中 COD、 NH_4^+ 、TN 的去除基本没有影响。当进水 COD/P 降至 23.3 时, C 源呈现不足, 生物除磷作用恶化, 平均出水 TP 上升至 $5.4 \text{ mg} \cdot \text{L}^{-1}$, TP 去除率突降至 62%。此时, 通过从厌氧池抽取富磷上清液辅以化学磷回收可在 C 源缺乏的情况下促进生物除磷作用。厌氧池 PO_4^{3-} 浓度随侧流比增大首先呈缓慢下降趋势, 至 30% 左右加速下降, 从而确定出最佳侧流比为 30%, 对应最

大回收率为54%，同时使系统出水中TP浓度降至1 mg·L⁻¹以下，具有实现资源回收和促进生物除磷效果的双重作用。侧流比对硝化过程基本无影响，这与Barat等模拟评价结果有很大差异；出水NO₃⁻浓度随侧流比增大而上升，可能是由于进入缺氧池的PO₄³⁻浓度降低造成反硝化除磷作用的减弱所导致，还有待进一步研究缺氧过程吸磷量的变化进行验证。

参考文献：

- [1] Lau P S, Tam N F Y, Wong Y S. Wastewater nutrients (N and P) removal by carrageenan and alginate immobilized chlorella vulgaris [J]. Environ Technol, 1997, **18**(9): 945-951.
- [2] Trépanier C, Parent S, Comeau Y, et al. Phosphorus budget as a water quality management tool for closed aquatic mesocosms [J]. Water Res, 2002, **36**(4): 1007-1017.
- [3] GB 8978-2002.城镇污水处理厂污染物排放标准[S].
- [4] Van Loosdrecht M C M, Hooijmans C M, Vrdjanovic D, et al. Biological phosphate removal processes [J]. Appl Microbiol Biot, 1997, **48**(3): 289-296.
- [5] Stratful I, Brett S, Scrimshaw M B, et al. Biological phosphorus removal, its role in phosphorus recycling [J]. Environ Technol, 1999, **20**(7): 681-695.
- [6] Duñas J F, Alonso J R, Rey A F, et al. Characterization of phosphorous forms in wastewater treatment plants [J]. J Hazard Mater, 2003, **97**(1-3): 193-205.
- [7] Isherwood K F. Mineral fertilizer use and the environment [A]. In: International Fertilizer Industry Association. United Nations Environment Programme[C]. Paris: IFA/UNEP, 2000. 106.
- [8] 郝晓地,甘一萍.排水研究新热点——从污水处理过程中回收磷[J].给水排水,2003, **29**(1): 20-24.
- [9] Gaterell M R, Gay R, Wilson R, et al. An economic and environmental evaluation of the opportunities for substituting phosphorus recovered from wastewater treatment works in existing UK fertilizer markets [J]. Environ Technol, 2000, **21**(9): 1067-1084.
- [10] Kuroda A, Takiguchi N, Gotanda T, et al. Simple method to release polyphosphate from activated sludge for phosphorus reuse and recycling [J]. Biotechnol Bioeng, 2002, **78**(2): 333-338.
- [11] Jeanmaire N, Evans T. Technical-economic feasibility of P-recovery from municipal wastewaters [J]. Environ Technol, 2001, **22**(11): 1355-1361.
- [12] Ueno Y, Fujii M. Three years experience of operating and selling recovered struvite from full-scale plant [J]. Environ Technol, 2001, **22**(11): 1373-1381.
- [13] Yoshino M, Yao M, Tsuno H, et al. Removal and recovery of phosphate and ammonium as struvite from supernatant in anaerobic digestion [J]. Water Sci Tech, 2003, **48**(2): 171-178.
- [14] Van Loosdrecht M C M, Brandse F A, de Vries A C. Upgrading of waste water treatment processes for integrated nutrient removal-the BCFS(R) process [J]. Water Sci Tech, 1998, **37**(9): 209-217.
- [15] 郝晓地.可持续污水-废物处理技术[M].北京:中国建筑工业出版社,2006. 63-68.
- [16] Hao X D, van Loosdrecht M C M. Model-based evaluation of struvite recovery from an in-line stripper in a BNR process (BCFS®) [J]. Water Sci Tech, 2006, **53**(3): 191-198.
- [17] Barat R, van Loosdrecht M C M. Potential phosphorus recovery in a WWTP with the BCFS process: Interactions with the biological process [J]. Water Res, 2006, **40**(19): 3507-3516.
- [18] 国家环境保护总局.水和废水监测分析方法[M].(第四版).北京:中国环境科学出版社,2002. 200-284.
- [19] Oehmen A, Lemos P C, Carvalho G, et al. Advances in enhanced biological phosphorus removal: from micro to macro scale [J]. Water Res, 2007, **41**(11): 2271-2300.
- [20] Mitani Y, Sakai Y, Mishina F. Struvite recovery from wastewater having low phosphate concentration [J]. Journal of Water and Environment Technology, 2003, **1**(1): 13-18.